

D J M E 法の改良に関する考察

長崎大学工学部 正員 伊勢田 哲也，正員 棚橋 由彦
 学生員 内田 駿治，学生員 大串 哲也
 学生員 加来 敏之

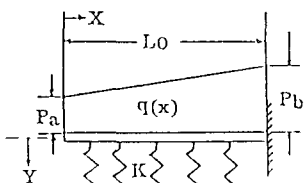
1. まえがき

軟弱地盤処理工法で、深層混合処理工法が採用される例が全国的に広がりつつある。この工法の効果として沈下量の減少、せん断変形の抑制、すへり抵抗の増加といった軟弱地盤の持つ大きな欠点を、改善できるものとして大きな評価を受けている。しかし設計法として滑り抵抗の増加、沈下量の減少といったものを評価するような設計法は試みられているが、せん断変形の抑制に就いては少ない。これについて細胞の極限解析法を用いた例やFEM解析法があるが、改良柱体と地盤土とを一体とした架空の物体を考え、強度特性値や力学特性値を定めて計算したり、解析モデルを作る等多くの仮定が必要であるばかりでなく、モーメント(M)、せん断力(Q)等求めにくい。

そこで本文は、周知の地盤反力法(弾性支承上の梁の問題)として改良柱体それ自身の挙動を解き、設計法の一助にせんとするものである。

2. 解析法

荷重として両端の圧力強度 P_a 、 P_b が台形荷重の様に作用するものとする。



< 基本式 >

$$EI \frac{d^4 Y}{dx^4} + KD_0 Y = q(x) = (P_a - \frac{P_b - P_a}{L_0} \cdot x) D_0 \quad \dots(1)$$

ここに、 E : ヤンク率, I : 断面2次モーメント, D_0 : 直径

K : 地盤反力係数, L_0 : 杭長, $q(x)$: 荷重

(1)式の一般解は

$$Y = \text{EXP}(\beta x) \cdot (\Lambda \cos \beta x + B \sin \beta x) + \text{EXP}(-\beta x) \cdot (C \cos \beta x + D \sin \beta x) + \frac{D_0}{4\beta^4 EI} \left(P_a + \frac{P_b - P_a}{L_0} \cdot x \right) \quad \dots\dots\dots(2)$$

ここで $\beta = \sqrt{\frac{D_0 K}{4 E I}}$, A, B, C, D は、積分定数

積分定数は、両端の境界条件(この場合は、4個)式を解くことで求められる。求まった積分定数を(2)式に代入すると、たわみ Y が求まる。これは第1列目の柱についての問題で、第2列目以降は第1列目のたわみ Y に、地盤反力係数(K)を掛けたものが第2列目に作用する荷重強度として、第2列目を解く。この場合、第一列目のたわみ曲線を3次方程式に近似とし次の3次式による(1)式の $q(x)$ として次の(3)式を用いる。

$$q(x) = a x^3 + b x^2 + c x + d \quad \dots\dots\dots(3)$$

第2列目の解は、

$$Y = \text{EXP}(\beta x) \cdot (\Lambda \cos \beta x + B \sin \beta x) + \text{EXP}(-\beta x) \cdot (C \cos \beta x + D \sin \beta x) + \frac{D_0}{4\beta^4 EI} (a x^3 + b x^2 + c x + d) \quad \dots\dots\dots(4)$$

これを、多層元に拡張してみた。今、 n 層の地盤があり各層の K 値が異なるものとする。例えば $n=3$ とすると、12個の積分定数が生じ12個の方程式を解くと良いわけである。 $n=10$ まで試みたが、 n が5以上になると計算時間が多くなり、たわみもほとんど近似したものとなるので(図-1参照)、 $n=5$ ぐらいが実用上良いようである。

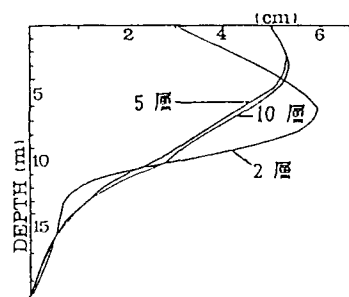


図-1 多層地盤のたわみ図

3. D JM施工地概要

有明恵比寿(A)地区、佐賀武雄(B)地区、櫻木(C)地区について、検討してみた。右図は(A)地区の横断面図と、D JMの配列図である。表-1に物性値を示した。

表-1 物性値

	恵比寿地区	武雄地区	櫻木地区
E (kg/cm ²)	2000	2000	2000
I (cm ⁴)	4.98·10 ⁶	4.98·10 ⁶	4.98·10 ⁶
L _o (m)	20.7	17	15~17
D _o (m)	1.0	1.0	1.0
P _a (kg/cm ²)	0.4~1.0	0.56~1.06	0.4
P _s (kg/cm ²)	1.1~1.49	—	1.26
K値 (kg/cm ²)	0.1~1.2	0.23~0.7	不明
盛土高さ (m)	5.5~8.8	2.5	7.5
r _t (t/m ³)	2.1	2.0	2.1

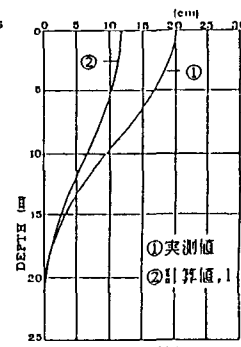
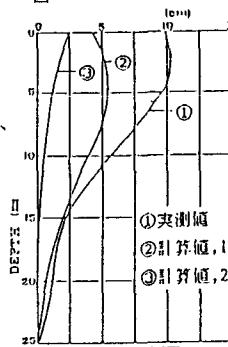
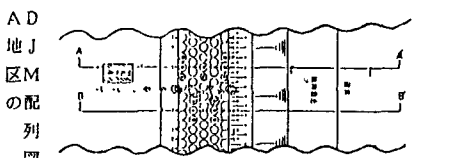
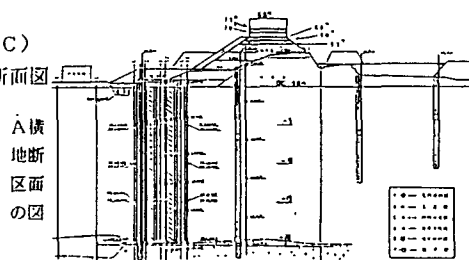
4. データ説明

図-2, 3はA地区における水平方向変位図である。最下端はヒンジで計算している。計算値、1はブシネスク理論等から求めたP_aとD JM柱体中央にP_s²、そしてP_b=0からなる三角形に似た荷重による変位で、計算値、2はブシネスク理論のみによる変位を表す。

なおP_sは次式から求めた。

$$P_s = 0.8 \times \gamma t (t/m^3) \times \text{盛土高さ}(m)$$

図-4はB地区におけるK値(0.30)を、-60~+100%にした場合のY, M, Qの変化率で、図-5はC地区におけるE, I, K(0.20), L_oを0~+100%にした場合のYの変化率である。



5. 考察

図より、杭の直徑、剛性を変えても、ほとんどYの変化は見られないが、Kの値は大きく関与していることがわかる。図-2, 3より、横荷重が大きくなるにしたがって、実測値と計算値の差が大きくなっている。弾性体として計算しているので、それが生じてくるのではないだろうか。

6. あとがき

以上の計算は、D JM改良柱体の第一列目についてのもので二列目以降は、若干その前のものよりも小さくなる。いずれにしてもK値の実測、Yの観測が必要である。

参考文献

- 1)側方変位抑制に用いた地中固結壁の挙動；川農次人, 沢田普勝, 西中村和利, 野間明義 (土木学会論文集第361号III-3, 1985年9月)
- 2)土質工学会；杭基礎の設計法とその解説(土と基礎, 292号, 30-5)

